

О ХАРАКТЕРЕ СОПРОТИВЛЕНИЯ ГЕНЕРАТОРА
В ПРОМЕЖУТОЧНОМ КАСКАДЕ МНОГОКАСКАДНОГО
ВИДЕОУСИЛИТЕЛЯ С ПАРАЛЛЕЛЬНОЙ СХЕМОЙ КОРРЕКЦИИ

И. Н. ПУСТЫНСКИЙ

(Представлено научно-технической конференцией, посвященной
90-летию со дня рождения В. И. Ленина)

В промежуточном (i -том) каскаде транзисторного видеоусилителя сопротивление генератора равно

$$Z_{e_i} = \frac{Z_{h_{i-1}} \cdot Z_{b_{\text{вых}}_{i-1}}}{Z_{h_{i-1}} + Z_{b_{\text{вых}}_{i-1}}}, \quad (1)$$

где $Z_{h_{i-1}}$, $Z_{b_{\text{вых}}_{i-1}}$ — соответственно сопротивление нагрузки и выходное сопротивление предыдущего ($i-1$ -го) каскада.

Как видно из выражения (1), сопротивление генератора i -го каскада в значительной мере зависит от выходного сопротивления $i-1$ -го каскада, которое в свою очередь зависит от выходного сопротивления $i-2$ -го каскада и т. д.

В результате, развязка каскадов в полупроводниковых усилителях весьма затруднительна.

* Исследование характера сопротивления i -го каскада позволяет сделать для практики ряд полезных выводов.

При параллельной схеме коррекции

$$Z_{h_{i-1}} \approx R_{h_{i-1}} + j\omega L_{i-1}. \quad (2)$$

Выходное сопротивление усилительного каскада в схеме с общим эмиттером равно

$$Z_{b_{\text{вых}}_{i-1}} = \frac{Z_{k_{i-1}}}{1 + j\omega r_{k_{i-1}} C_{k_{i-1}}} \cdot \frac{F_{o_{i-1}}}{F_{\infty_{i-1}}}, \quad (3)$$

где

$$Z_{k_{i-1}} = \frac{r_{k_{i-1}}}{1 + j\omega r_{k_{i-1}} C_{k_{i-1}}} \text{ — импеданс коллектора,}$$

$F_{o_{i-1}}$, $F_{\infty_{i-1}}$ — коэффициент обратной связи (точнее — возвратная разность) предыдущего каскада соответственно при $Z_h = 0$ и $Z_h = \infty$, причем

$$F_{o_{i-1}} = 1 + \frac{r_{e_{i-1}}(1+\beta_{i-1}) \left[1 + \frac{Z_{z_{i-1}} + r_{\delta_{i-1}}}{Z_{\kappa_{i-1}}} \right]}{Z_{z_{i-1}} + r_{\delta_{i-1}}}$$

$$F_{\infty_{i-1}} = 1 + \frac{r_{e_{i-1}}}{Z_{z_{i-1}} + r_{\delta_{i-1}}}.$$

Полагая для простоты, что сопротивление генератора предыдущего каскада близко к активному, т. е. $Z_{z_{i-1}} \approx R_{z_{i-1}}$ и принимая во внимание, что обычно $\tau_p \gg C_\kappa r_e (1+\beta_o)$, получим

$$F_{o_{i-1}} \approx a_{o_{i-1}} \frac{1 + j\omega \frac{\tau_{\beta_{i-1}}}{a_{o_{i-1}}}}{1 + j\omega \tau_{\beta_{i-1}}} \text{ и } F_{\infty_{i-1}} \approx a_{\infty_{i-1}},$$

где $a_{o_{i-1}} = 1 + \frac{r_{e_{i-1}}(1+\beta_{o_{i-1}})}{r_{\delta_{i-1}} + R_{z_{i-1}}}$ — значение коэффициента $F_{o_{i-1}}$ на средней частоте,

$$a_{\infty_{i-1}} = 1 + \frac{r_{e_{i-1}}}{R_{z_{i-1}} + r_{\delta_{i-1}}}.$$

Таким образом,

$$Z_{b_{btx_{i-1}}} = R_{b_{btx_{i-1}}} \frac{1 + j\omega \frac{\tau_{\beta_{i-1}}}{a_{o_{i-1}}}}{1 + j\omega R_{b_{btx_{i-1}}} \cdot C_{b_{btx_{i-1}}}}, \quad (4)$$

где

$R_{b_{btx_{i-1}}} = \frac{r_{\kappa_{i-1}}}{1 + \beta_{o_{i-1}}} \cdot \frac{a_{o_{i-1}}}{a_{\infty_{i-1}}}$ — выходное сопротивление на средней частоте $i-1$ -го каскада,

$C_{b_{btx_{i-1}}} = C_{\kappa_{i-1}}(1 + \beta_{o_{i-1}}) \frac{a_{\infty_{i-1}}}{a_{o_{i-1}}}$ — выходная емкость усилительного каскада при $\tau_p = 0$.

Подставляя (3) и (4) в (1) при $\frac{R_{h_{i-1}}}{R_{b_{btx_{i-1}}}} \ll 1$, получим

$$Z_{z_i} = R_{z_i} \cdot \frac{1 + j\Omega(m+q) + (j\Omega)^2 m \cdot q}{1 + j\Omega(1+q) + (j\Omega)^2 m}, \quad (5)$$

где

$$R_{z_i} = \frac{R_{h_{i-1}} \cdot R_{b_{btx_{i-1}}}}{R_{h_{i-1}} + R_{b_{btx_{i-1}}}} \approx R_{h_{i-1}}, \quad \Omega = \omega R_{h_{i-1}} \cdot C_{b_{btx_{i-1}}},$$

$q = \frac{\tau_{\beta_{i-1}}}{a_{\infty_{i-1}} R_{h_{i-1}} C_{\kappa_{i-1}} (1 + \beta_{o_{i-1}})}$ — коэффициент относительной инерционности транзистора в усилительном каскаде,

$m = \frac{L_{i-1}}{R_{i-1}^2 C_{\text{вых}_{i-1}}}$ — параметр коррекции $i-1$ -го каскада.

Модуль сопротивления генератора равен

$$|Z_2| = R_2 \cdot \sqrt{\frac{1 + \Omega^2 (m^2 + q^2) + \Omega^4 m^2 q^2}{1 + \Omega^2 [1 + 2(q - m) + q^2] + \Omega^4 m^2}}. \quad (6)$$

Как видно из выражения (6), сопротивление генератора чисто активное, т. е. $Z_2 = R_2$, если $m = q = 1$.

В общем случае можно считать, что сопротивление генератора по своему характеру в рабочем диапазоне частот ($\Omega \approx 0 \div 1$) близко к активному, если

$$m^2 + 1 + 2(q - m),$$

т. е.

$$m - m_k = 1 + \sqrt{2(1+q)}.$$

Зависимость $\frac{|Z_2|}{R_2} = f_1(\Omega)$ для определенных q при $m = m_k$ изображена графически на рис. 1, откуда видно, что $|Z_2|$ отличается от R_2

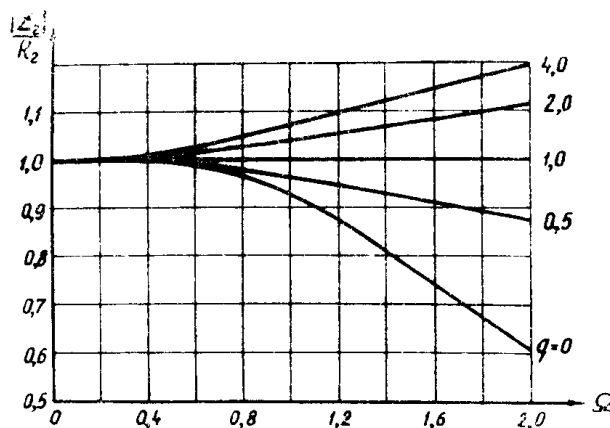


Рис. 1.

даже при $\Omega_{zp} \approx 1$ менее чем на 8%, причем в случае $q > 1$ по своему характеру Z_2 индуктивное, а при $q < 1$ — емкостное.

На рис. 2 и 3 соответственно изображены зависимости

$$\frac{|Z_2|}{R_2} = f_2(\Omega) \quad \text{при } m = m_q = 1 + \sqrt{1 + (1+q)^2}$$

$$\frac{|Z_2|}{R_2} = f_3(\Omega) \quad \text{при } m = m_n = \begin{cases} 0,25(1+q)^2 & \text{для } q \leq 1 \\ q & \text{для } q > 1. \end{cases}$$

Здесь m_q — параметр коррекции, при котором обеспечивается оптимальная частотная характеристика [1].

m_n — параметр коррекции, при котором переходная характеристика еще не имеет выброса.

Из графиков видно, что при $m = m_q$ и $m = m_n$ модуль $|Z_2|$ отличается от R_2 в рабочем диапазоне частот даже при $q = 0 \div 4$ не более чем на 30% и в первом приближении для практических расчетов можно полагать, что в промежуточном каскаде транзисторного видеоусилителя

теля с параллельной схемой коррекции сопротивление генератора близко к активному, т. е. $Z_2 \approx R_2$.

Таким образом, наше предположение, что $Z_{2i-1} \approx R_{2i-1}$ можно считать допустимым.

Следовательно, инженерные формулы, полученные при анализе однокаскадного усилителя с параллельной схемой коррекции и активным сопротивлением генератора, можно считать приемлемыми и для промежуточного каскада видеоусилителя.

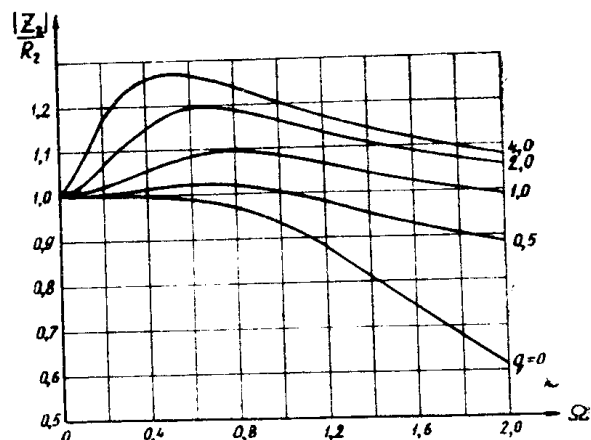


Рис. 2.

Однако при проектировании многокаскадных усилителей следует учесть, что при $q > 1$ получается заметный выигрыш в общей площади усиления в случае, когда первые каскады несколько недокорректированы, а последний перекорректирован. Это объясняется тем, что в случае $q > 1$ при $m = m_q$ и $m = m_n$ $|Z_2| > R_2$ и добротность i -го каскада становится меньшей, чем при $|Z_2| < R_2$. Экспериментальная проверка с двухкаскадным усилителем подтверждает это.

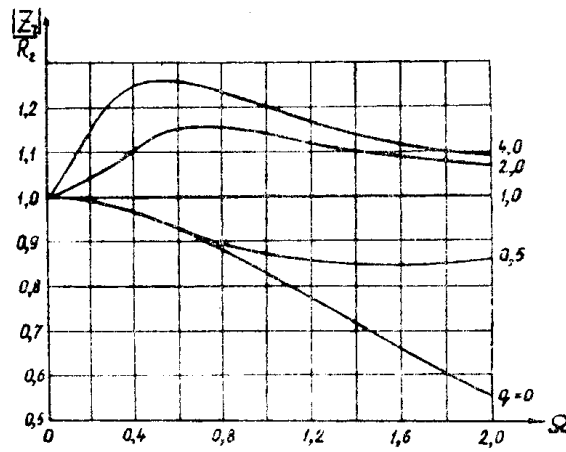


Рис. 3.

Например, при $R_{21} = R_{H1} = 250$ ом была получена максимально плоская частотная характеристика первого каскада (на триоде П403-1 с индуктивностью $L_1 = 15$ мкГн ($f_{в2р1} = 5,2$ мгц)). Отдельно для второго каскада при таких же R_{22} и R_{H2} максимально плоская частотная характеристика на триоде П403-2 получилась с $L_2 = 17$ мкГн ($f_{в2р2} = 5$ мгц).

Для двух каскадов при $L_1=15 \text{ мкГн}$ и $L_2=17 \text{ мкГн}$ частотная характеристика получилась достаточно равномерной с $f_{вgr}=3,7 \text{ мгц}$. Максимально же плоская частотная характеристика получилась при $L_1=10 \text{ мкГн}$ и $L_2=21 \text{ мкГн}$. При этом верхняя граничная частота составляла $f_{вgr.m}=4,0 \text{ мгц}$.

ЛИТЕРАТУРА

1. Пустынский И. Н. Параллельная схема коррекции высокочастотных погрешностей в видеоусилителях на транзисторах, Известия ТПИ, т. 105, 1960.